

I-2 むじり1自由度フラッタの解析モデルについて

九州大学 工学部 学生員 吉村 健
同 応用力学研究室 正員 中村泰治

1. はじめに

空力弾性系における流体系は、一般に有限な剛度(物体変位)に対して非線型性を有する(流体力)を示す。たゞ、微小な物体変位を対象にすれば線型近似することが許される。このように顧慮に立ち、筆者らは線型近似した流体系に線型系の理論を適用し、橋梁断面等に生じるむじり1自由度フラッタの発生機構を明確にするためにステップ応答で表現された流体力(空力モーメント)を用いている⁽¹⁾。

ところで、上のようくフラッタの発生機構等を説明する場合に線型的流体力でなく足りない、フラッタ発生時にからくるリミットサイクル等について論じようとするれば、流体系をさらに厳密に表現すると、すばらしく線型項まで考慮に入れることが必要である。周知のように、流体力は物体変位の汎関数として表わされるのであるから、このように非線型項まで考慮する場合には流体力は非常に複雑な非線型汎関数表示となり解析が困難である。筆者らは、むじり1自由度フラッタが生じる物体の空力モーメントを、(1)より非線型汎関数を用いて表現しようと試みたが、解はるかとの関数形を立てるにはこれまで未だなかった。(かれどから、最近、流体系に対する種々の解析モデルが見出され、これを用ひれば非線型流体系の解析が比較的容易に進められることがわかる)。本報告はこの解析モデルについて述べるものである。

2. 線型的流体系について

筆者らの研究によれば、むじり1自由度空力弾性系における線型的非定常性やモーメント特性をスティップ応答で表わす場合、その応答特性は Scanlan⁽²⁾ が提案した式で十分に近似できるようである。

$$\dot{M}(t) = [-K_0 - K_1 e^{-\delta_1 t} - K_2 e^{-\delta_2 t}] Z(t) \quad (\text{t} \geq 0) \quad \dots (1)$$

ここで、 $Z(t) = M/2\pi PG^2 V^2$, M : 単位長さ当たりの空中モーメント, P : 積密度, G : 半強度, V : 速度, Z_0 : 静止

K_1, Y_1 ($i=0, 1, 2$, $j=1, 2$): 定数, δ_i : 無次元時間 = V/λ_i , λ_i : 時間.

上式で Duhamel 構造を用ひ、任意の物体変位 $Z(t)$ に対する空力モーメント $M(t)$ を求まる。

$$M(t) = 2\pi P G^2 V^2 \int_0^t \tilde{Z}_M(t-s) \frac{dZ(s)}{ds} ds \quad \dots (2) \quad (\tilde{Z}_M(t) = Z_M(t)/Z_0)$$

ところで、(2)式の図-1に示すモデルの復元力を表すことは次のようにして簡単に示すことができる。変位 Z, X_1, X_2 と外力 f の間に

$$\left\{ -K_0 Z - K_1 X_1 - K_2 X_2 + f = 0 \right. \quad \dots (3)$$

$$\left\{ -K_1 X_1 + C_1 (Z' - X_1') = 0 \right. \quad \dots (4)$$

$$\left. \left\{ -K_2 X_2 + C_2 (Z' - X_2') = 0 \right. \right. \quad \dots (5) \quad \text{ただし } Z' = \frac{dZ}{dt}$$

付けるのである。(3)~(5)式の表現が次節で重要な(3)。(4),(5)式の付ける

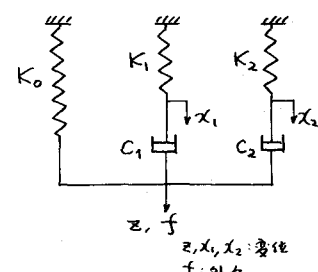
$$X_i = e^{-\delta_i t} \int_0^t e^{\delta_i s} \frac{dZ(s)}{ds} ds \quad (i=1, 2) \quad \dots (6)$$

$$\therefore \delta_i = K_i/C_i$$

と書け、これらを(3)式に代入し、 $M(t) = 2\pi P G^2 V^2 = -f$ とおけば(3)式を得る。但し、(2),(6)式(=あるいは(3))で $Z(0)=0$ とした。よって、図-1の変位 Z と復元力 $(-f)$ で示す物体変位空力モーメント M とすれば、この場合の流体系は同図のモデルで表わされることがわかる。但し、(4)式を用いて系の固有振動数を求めるところに次式を得る。

$$C_M(k) = [R_e(k) + i \cdot I_m(k)] Z_0 e^{ikt} \quad \dots (7)$$

$$\therefore \delta_i = R_e(k) = -\sum_{j=0,1,2} K_j + \sum_{j=1,2} \frac{K_j Y_j^2}{k^2 + Y_j^2}, \quad I_m(k) = \sum_{j=1,2} -\frac{K_j Y_j k}{k^2 + Y_j^2}, \quad i: 虚数単位, \quad \omega: 固有振動数$$



(图-1)

以上の考察により、ねじり1自由度空力弹性系の解析モデルは図-2のように表わされ、二山式で示せば次のようになります。 $I_a = C_s = 0$ のとき。

$$Z'' + K_s^2 Z = \frac{1}{M} \int_0^{\infty} \tilde{\Phi}_M(\tau - \xi) \frac{dZ(\xi)}{d\xi} d\xi \quad \dots (8)$$

$\therefore M = \frac{I_a^2}{2\pi f_{\text{ref}}^4}$, I_a : 単位長あたりの慣性モーメント,

$$f_{\text{ref}} = \omega_0 / V, \omega_0 = \sqrt{K_s / I_a}, K_s: \text{固定定数}, Z'' = \frac{d^2 Z}{d\tau^2}$$

ここで図-1のステップ応答式について考えてみよう。 K_s, C_s が全て正の場合には、すくねられた船体運動の初期緩和(慣性力の変化)を表す(図-3(a))。このときの慣性力は(8)式により常に変化に対して位相遅れを有する。これに対して、ねじり1自由度アーリング生じる物体における空力モーメントの変化は、図-1において $K_0 > 0$ or < 0 ; $K_1, C_1 > 0$; $K_2, C_2 < 0$ の場合である。この1例を図-3(b)に示す⁽¹⁾⁽²⁾。このときの周波数応答を(8)式により計算すると、ある無次元振動数 f_{cor} (あるいは無次元周速 $V_{\text{cor}} = 2\pi f_{\text{cor}}$)よりも小さい(高い)領域において空力モーメントが初期値に対して位相進みとなり、流体系は負減衰を示すとよい。この場合、(8)式の解ければ $M < f_{\text{cor}}$ においてフットが発生する。

3. 非線形性流体系について

実際の流体系は物体位置に対して非線形な流体力をもつもので、系を表す方程式は(3)~(5)式の代わりに次のように表すよさよう。

$$\left\{ -\hat{R}_0(Z) - \hat{R}_1(X_1) - \hat{R}_2(X_2) + f = 0 \quad \dots (9) \right.$$

$$\left. -\hat{R}_1(X_1) + \hat{C}_1(Z - X_1) = 0 \quad \dots (10) \right.$$

$$\left. -\hat{R}_2(X_2) + \hat{C}_2(Z - X_2) = 0 \quad \dots (11) \right.$$

\therefore 1- $\hat{R}_0(Z)$ 等は通常の非線形関数を表す。

以上でも述べた、(9)~(11)式における非線形項を除んで省略すれば

(3)~(5)式と一致する。 $\hat{R}_0(Z)$ 等のような関数であることは現在

計算中の実験結果を得たければならないが、いたんこれらを

形状が定まれば、 $Z'' + K_s Z = -\frac{1}{M} f$ を(9)式に入れてすて消去(これが(8)式と等しい), (9)~(11)式を連立させてデジタル式またはアナログ計算機により解を求めることは比較的容易である。この場合 K_s (9)式, あるいは無次元周速 V がパラメーターである。

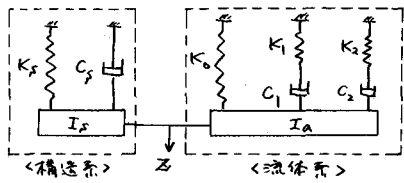
なお、(9)~(11)式より X_1, X_2 を消去すれば非線形空力モーメントが得られるわけであるが、これは複雑な非線形関数となるべからぬよう。このようにして、(9)~(11)式に対する解析解は現在のところまだ得られていない。ただし、 $f = 0$ に対する $\hat{C}_1(Z - X_1)$ がよほど、 \hat{R}_1 の線形項で近似でき、しかも非線形性が弱い場合には、空力モーメントを(直角)で表現することができる、また \hat{C}_1 の固有形とアーリング発生時に近づく安定性リミットサイクルの存在が予測される。このような解析解については、別途機会に發表する予定したい。

4. 結論

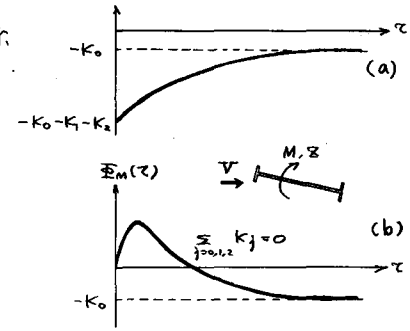
ねじり1自由度空力弹性系における非線形流体系は、図-1において物体と慣性モーメントとをもつて流体系の物体運動とそれに伴う空力モーメントに対する場合、同様のモデルと等価である。但し、図-1における要素は非線形要素である。このときの空力モーメント M は(9)~(11)式において $M = -f$ とおくことより求められる。

最後に、本研究を行なうにあたり、九大工科の大田助教授はじめ同窓生諸君に貴重な御助言をいただきたい。謝意を示したい。

- 参考文献: (1). 吉村 健, 中村恭治, “吊橋断面の空気流応答(第1報)”, 第50回土木学会年次学術講演会概要集
 (2). R.H. Scanlan and K.S. Budlong, "Initial Aerodynamic Functions for Bridge Decks", Proc. ASCE, EM4, Aug. 1978



(図-2) (I_a : Virtual Mass)



(図-3)